

**Zeitschrift:** Orion : Zeitschrift der Schweizerischen Astronomischen Gesellschaft

**Herausgeber:** Schweizerische Astronomische Gesellschaft

**Band:** 9 (1964)

**Heft:** 84

**Artikel:** Mars : présentation 1963

**Autor:** Cortesi, S.

**DOI:** <https://doi.org/10.5169/seals-900225>

#### **Nutzungsbedingungen**

Die ETH-Bibliothek ist die Anbieterin der digitalisierten Zeitschriften auf E-Periodica. Sie besitzt keine Urheberrechte an den Zeitschriften und ist nicht verantwortlich für deren Inhalte. Die Rechte liegen in der Regel bei den Herausgebern beziehungsweise den externen Rechteinhabern. Das Veröffentlichen von Bildern in Print- und Online-Publikationen sowie auf Social Media-Kanälen oder Webseiten ist nur mit vorheriger Genehmigung der Rechteinhaber erlaubt. [Mehr erfahren](#)

#### **Conditions d'utilisation**

L'ETH Library est le fournisseur des revues numérisées. Elle ne détient aucun droit d'auteur sur les revues et n'est pas responsable de leur contenu. En règle générale, les droits sont détenus par les éditeurs ou les détenteurs de droits externes. La reproduction d'images dans des publications imprimées ou en ligne ainsi que sur des canaux de médias sociaux ou des sites web n'est autorisée qu'avec l'accord préalable des détenteurs des droits. [En savoir plus](#)

#### **Terms of use**

The ETH Library is the provider of the digitised journals. It does not own any copyrights to the journals and is not responsible for their content. The rights usually lie with the publishers or the external rights holders. Publishing images in print and online publications, as well as on social media channels or websites, is only permitted with the prior consent of the rights holders. [Find out more](#)

**Download PDF:** 12.02.2026

**ETH-Bibliothek Zürich, E-Periodica, <https://www.e-periodica.ch>**

## MARS: PRESENTATION 1963

RAPPORT No. 11 DU « GROUPEMENT PLANETAIRE SAS »,  
PAR S. CORTESI

Observateur	E. Antonini	S. Cortesi	J. Dragesco
Lieu	Genève	Locarno-Monti	Makokou (Gabon)
Instrument	lun. 162 mm	tél. 250 mm	tél. 175 mm
Grossissements	220x 310x	226x	260x 320x
Qual. moy. images	4,2	4,8	5,3
Total dessins	7	6	38
Cotes intensité	12	27	540
Période d'observation	26. II. 1963 3. IV. 1963	25. II. 1963 25. III. 1963	19. XII. 1962 17. II. 1963

### *Considérations générales.*

La planète fut très peu suivie cette année à cause du mauvais temps de cet hiver et de la température très basse rendant pénible l'observation; le présent rapport se base pratiquement sur les observations de notre vaillant collaborateur français M. J. Dragesco que nous tenons vivement à remercier et à complimenter ici pour sa ténacité et son enthousiasme vraiment uniques. Pour des raisons professionnelles il se trouvait au Gabon (A. E. F.) et la qualité des images sous le ciel d'Afrique a été très favorable, lui permettant d'intéressantes observations.

Mars est passé à l'opposition le 4 février 1963 avec un diamètre apparent maximum de 13'',9. La latitude du centre de la planète était de + 14°,6 à l'opposition, l'hémisphère boréal s'offrant donc mieux à nos regards. Cet hémisphère se trouvait, pendant toute notre période d'observation, en plein printemps, la calotte polaire nord en régression, celle australe pas encore formée.

### *Description aréographique.*

Plus que de longues descriptions, nous croyons que les dessins reproduits ici pourront donner un aperçu de ce que fut la planète pendant cette opposition.

Les dessins sont rangés par ordre de longitudes et non par ordre chronologique:

- Région I: entre 250° et 10° (Syrtis Major-Sinus Meridiani),  
voir dessins No. 1, 2, 3, 4, 5.
- Région II: entre 10° et 130° (Margaritifer S.-Aonius S.),  
voir dessins No. 6, 7, 8.
- Région III: entre 130° et 250° (Mare Sirenum-Mare Tyrrhenum),  
voir dessins 9, 10, 11, 12, 13.

Pour remarquer la régression de la calotte polaire il faut naturellement les examiner par ordre chronologique, c'est-à-dire: 1, 13, 11, 10, 7, 6, 5, 3, 12, 9, 8, 2, 4.

La calotte polaire boréale fut toujours bien visible et brillante, bordée par une frange très sombre. Elle était de forme régulière sauf entre la moitié de février et le début de mars où elle présentait des irrégularités notées par tous les observateurs (voir dessins 9 à 12). Dragesco a parfois noté des parties moins brillantes (voir dessins 1 à 10).

Des comparaisons peuvent être faites entre les dessins pris avec des valeurs de  $\omega$  voisines. Tel est le cas pour les numéros suivants: 2/3/4; 7/8; 9/10; 12/13. Il existe un bon accord entre les divers observateurs, compte tenu des différences de date.

#### *Cotes d'intensité.*

Dans cette présentation, bien que les conditions ne fussent pas des meilleures, on s'est efforcé d'évaluer les cotes d'intensité (T) suivant le système De Vaucouleurs (0 = calotte polaire; 10 = fond du ciel). Nous donnons ci-dessous la liste des principales formations avec les valeurs de T de chaque observateur et, entre parenthèses, le nombre des observations effectuées.

Nomenclature U.A.I.	T			
	Antonini	Cortesi	Dragesco	Moyenne
Acidalium M.		6 (1)	7,4 (7)	6,7
Aurorae S.		7 (1)	5,4 (3)	6,2
Boreosyrtis			5,5 (1)	5,5
Casius	4 (1)		5 (1)	4,5
Ceraunius			3,3 (1)	3,3
Cerberus			4,8 (5)	4,8
Cimmerium M.		6 (1)	7 (4)	6,5
Deltoton S.			6,2 (3)	6,2
Deuteronilus			4,5 (2)	4,5
Elysium			1,8 (3)	1,8

Nomenclature U.A.I.	T			
	Antonini	Cortesi	Dragesco	Moyenne
Erythraeum M.		7 (1)	6,6 (4)	6,8
Eunostos			4,2 (2)	4,2
Gehon			3,5 (4)	3,5
Hellas	1,5 (1)	1 (1)	2,5 (2)	1,7
Hellespontus	5 (1)		4 (1)	4,5
Iapigia			6,3 (3)	6,3
Isidis			2,8 (1)	2,8
Ismenius		3,5 (1)	4,4 (5)	4
Laestrigon			4 (2)	4
Libya	3,5 (1)		3,5 (1)	3,5
Lunae Palus		3 (1)	4,7 (8)	3,9
Margaritifer S.			6 (5)	6
Meridiani S.			7,2 (4)	7,2
Moeris L.			4,4 (5)	4,4
Nepenthes			3,9 (2)	3,9
Niliacus L.			5,1 (9)	5,1
Nilokeras			4,4 (2)	4,4
Nilosyrtis		5,5 (1)	3,7 (3)	4,6
Nodus Gordii (145° + 5°)		2,7 (1)	3,8 (3)	3,3
Oxia Palus			3,8 (1)	3,8
Pandorae Fretum			5,3 (2)	5,3
Phlegra		5 (1)	4,5 (4)	4,7
Phoenicis L.			3,7 (4)	3,7
Propontis		4,5 (1)	4 (3)	4,2
Pyrrae R.			2,9 (2)	2,9
Sabaeus S.	4,5 (1)	5,5 (1)	6,5 (8)	5,5
Serpentis M.		6 (1)	7 (3)	6,5
Sirenum M.		7 (1)	5,8 (6)	6,4
Sithonius L.			6 (1)	6
Solis L.			4,6 (5)	4,6
Syrtis Major	6,5 (1)	7,5 (1)	7,4 (8)	7,1
Tartarus (185°, 10°)			5,5 (1)	5,5
Thoth			5,2 (3)	5,2
Tithonius L.			3,9 (5)	3,9
Trivium Charontis		5,7 (2)	4,9 (5)	5,3
Tyrrhenum M.	5 (1)		6,9 (6)	6
autres régions dés.	2,5 (1)	2 (3)	2,2 (20)	2,2
calotte polaire N		0,2 (4)	0 (20)	0,1
frange sombre	6 (1)	5,7 (3)	7,5 (20)	6,4

Il faut noter que les estimations de M. DRAGESCO sont une moyenne de plusieurs valeurs relevées dans une période de deux mois. Certaines d'entre elles ont varié assez fortement même dans l'espace de peu de jours. Par exemple, M. Sirenum fut noté 4,5 le 26 décembre et 7 le 22 janvier. Phlegra a varié entre 3 et 6, Trivium Charontis entre 4 et 7, Cerberus entre 4 et 6,5, Lunae Palus entre 3,8 et 5,5, Niliacus L. entre 3,8 et 6,5, Sabaeus S, enfin, entre 5 et 8. Ces variations sont irrégulières et pourraient provenir en partie de la présence de voiles locaux semi-transparents dans l'atmosphère martienne. Par contre d'autres formations sombres ont toujours été observées de la même tonalité, comme par exemple Syrtis Major (cotes entre 7 et 8), Mare Tyrrhenum (6,5 - 7,5) ou Mare Acidalium qui parut toujours assez sombre (6 - 8).

#### *Colorations.*

Aucune notation de couleurs n'a été faite cette année et c'est compréhensible, vu la petitesse du disque planétaire.

#### *Nuages.*

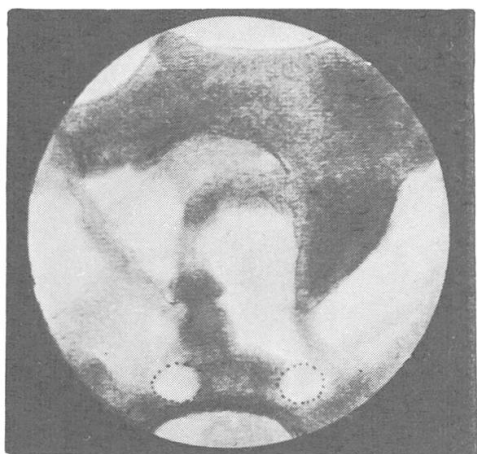
Beaucoup de nuages et de voiles plus ou moins opaques ont été observés par M. DRAGESCO; tous ses dessins portent la notation de blancheurs plus ou moins évidentes présentes sur telle ou telle région aréographique (voir dessins).

#### *CONCLUSIONS.*

Présentation aphélique assez normale avec une transparence moyenne de l'atmosphère martienne; les nuages, bien qu'assez nombreux, n'étaient pas étendus ou très opaques.

Les formations sombres de l'hémisphère austral nous parurent plutôt foncées vu la saison (automne avancé).

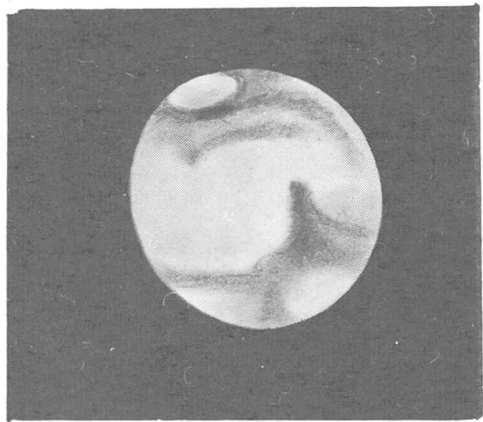
La frange sombre bordant la calotte polaire nord était très étendue et foncée ( $T=6,4$ ).



14. I. 1963  $\omega = 268^\circ$

$260 \times 320 \times \text{Im. 8-9}$

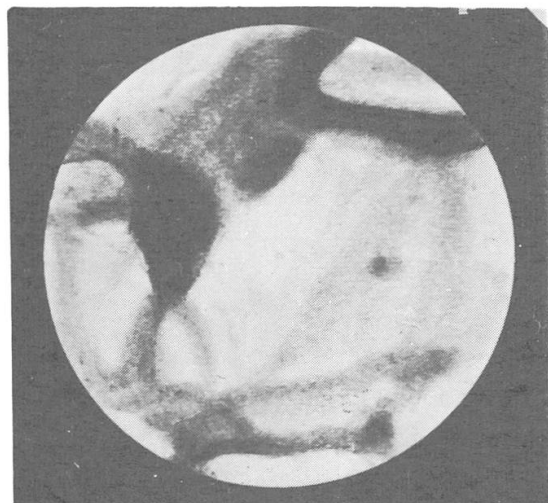
J. Dragesco



24. III. 1963  $\omega = 313^\circ$

$310 \times \text{Im. 4-5}$

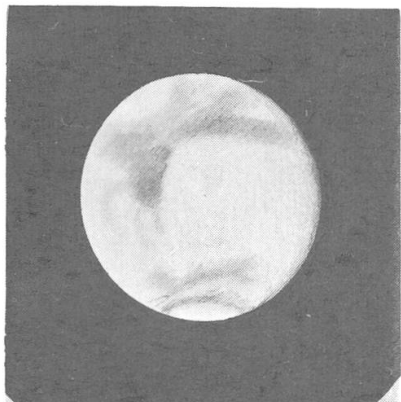
E. Antonini



15. II. 1963  $\omega = 316^\circ$

$260 \times 320 \times \text{Im. 5-6}$

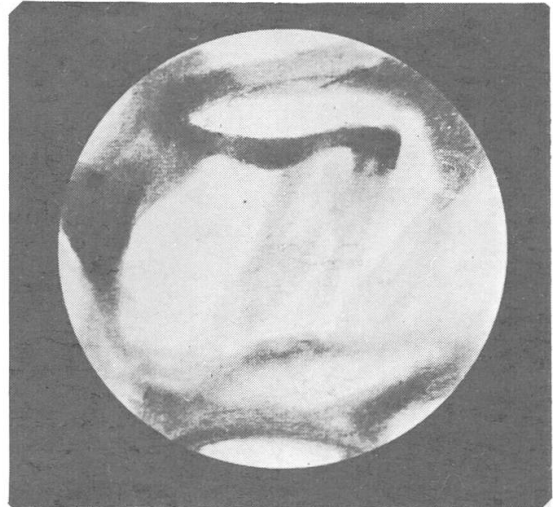
J. Dragesco



25. III. 1963  $\omega = 319^\circ$

$226 \times \text{Im. 4}$

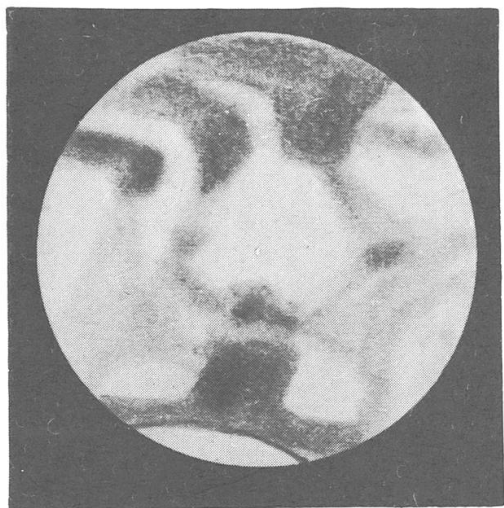
S. Cortesi



11. II. 1963  $\omega = 345^\circ$

$260 \times 320 \times \text{Im. 5}$

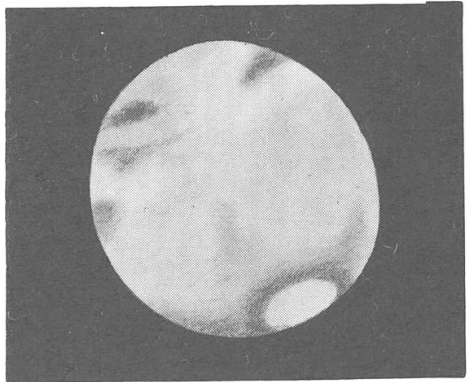
J. Dragesco



7. II. 1963  $\omega = 33^\circ$

260  $\times$  320  $\times$  Im. 6

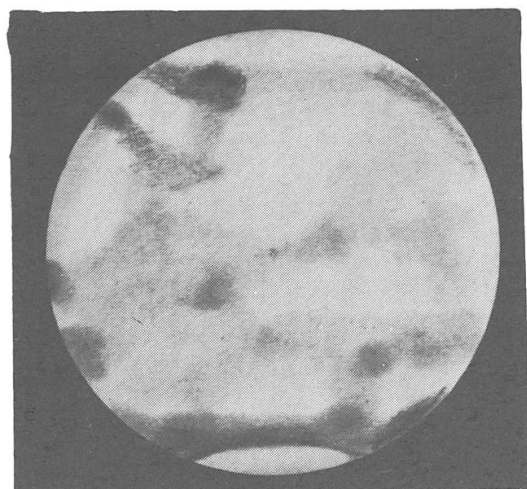
J. Dragesco



5. III. 1963  $\omega = 112^\circ$

220  $\times$  Im. 5-6

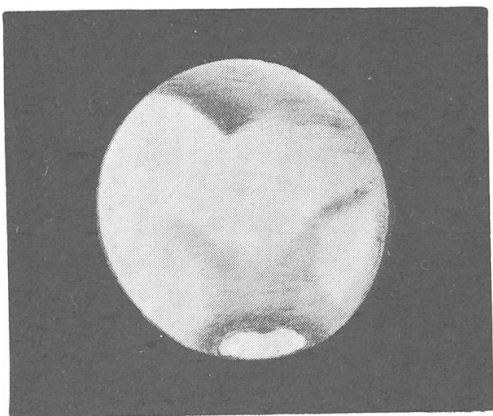
E. Antonini



1. II. 1963  $\omega = 107^\circ$

260  $\times$  320  $\times$  Im. 9-10

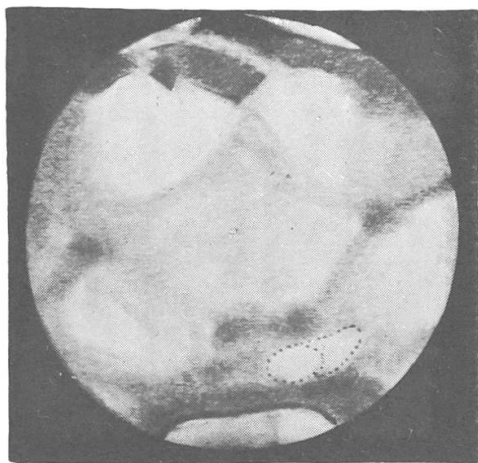
J. Dragesco



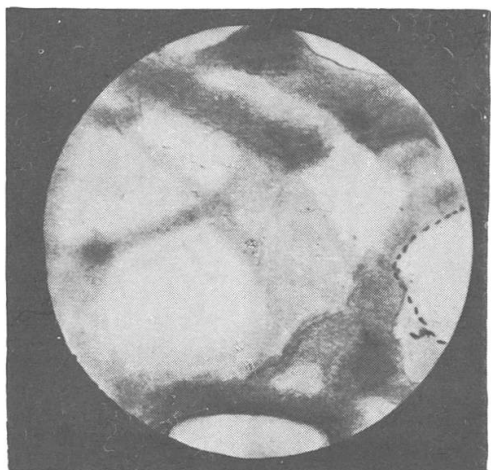
3. III. 1963  $\omega = 169^\circ$

310  $\times$  Im. 4-5

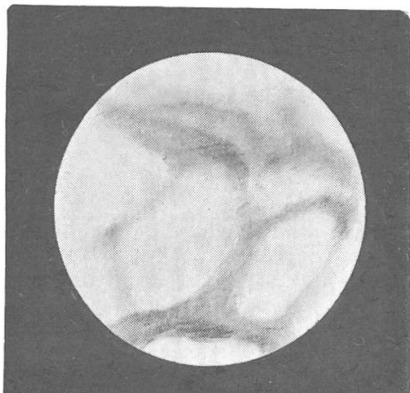
E. Antonini



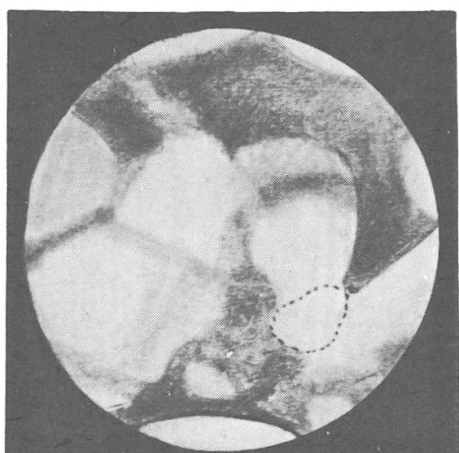
22. I. 1963  $\omega = 171^\circ$   
260  $\times$  320  $\times$  Im. 7-8  
J. Dragesco



17. I. 1963  $\omega = 230^\circ$   
260  $\times$  320  $\times$  Im. 9  
J. Dragesco



25. II. 1963  $\omega = 241^\circ$   
226  $\times$  Im. 4  
S. Cortesi



16. I. 1963  $\omega = 248^\circ$   
260  $\times$  230  $\times$  Im. 8  
J. Dragesco